

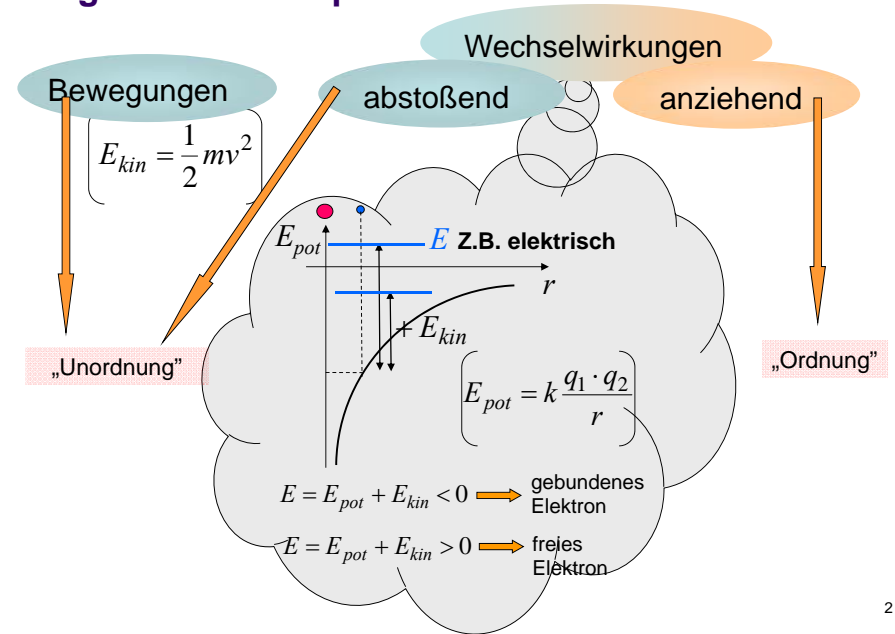
Biophysik für Pharmazeuten I.

2015/16
Vorlesung 3

Struktur der Materie

1

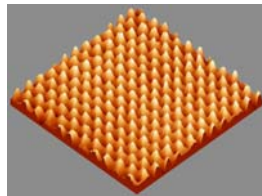
Allgemeine Prinzipien



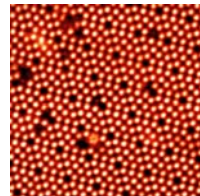
2

Atomarer Aufbau der Materie

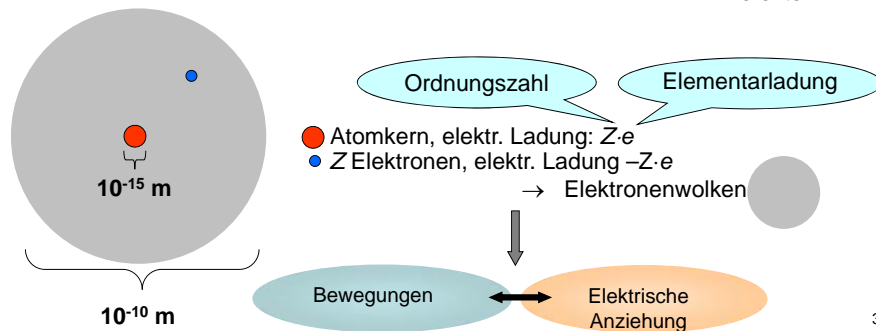
- Demokritos 5. Jht v. Chr.
- Daltonsches Gesetz 1803
- Moderne Mikroskope:



Graphit

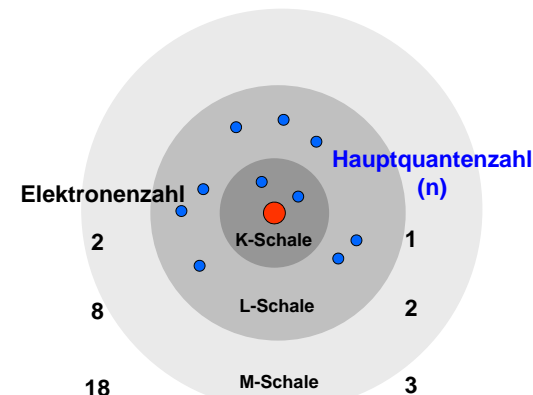


Si Kristall mit Defekten

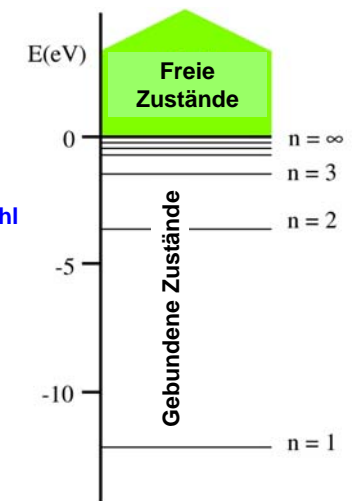


3

- Energieminimum
- Diskrete Energiezustände
- Pauli-Prinzip

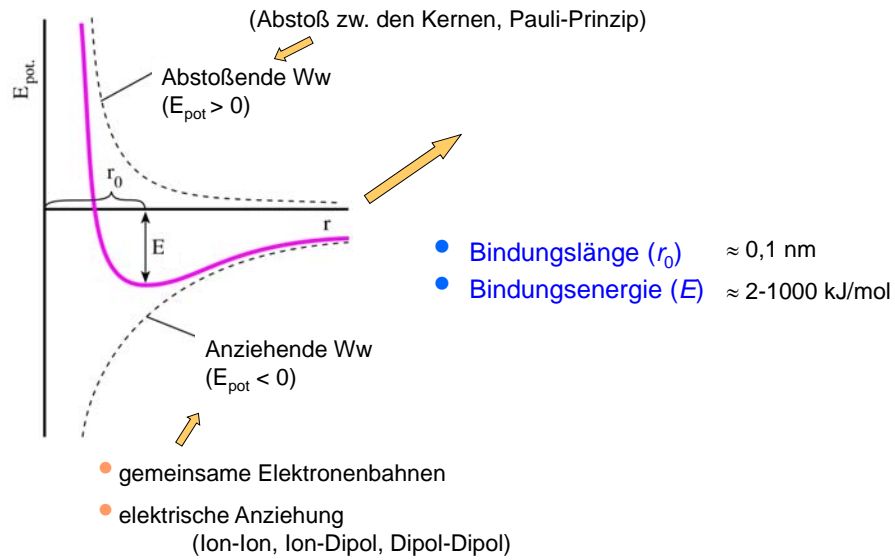


Eine „neue“ Maßeinheit:
Elektronenvolt (eV), es gilt
 $1 \text{ eV} = 1,6 \cdot 10^{-19} \text{ J}$



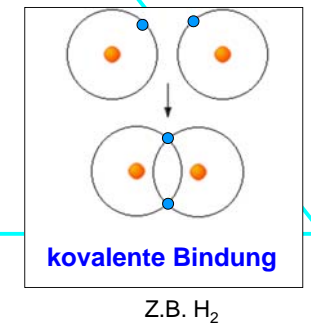
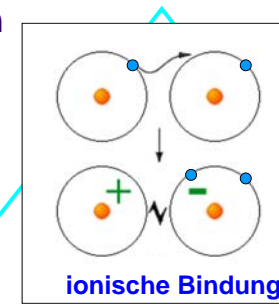
4

Atomare Wechselwirkungen

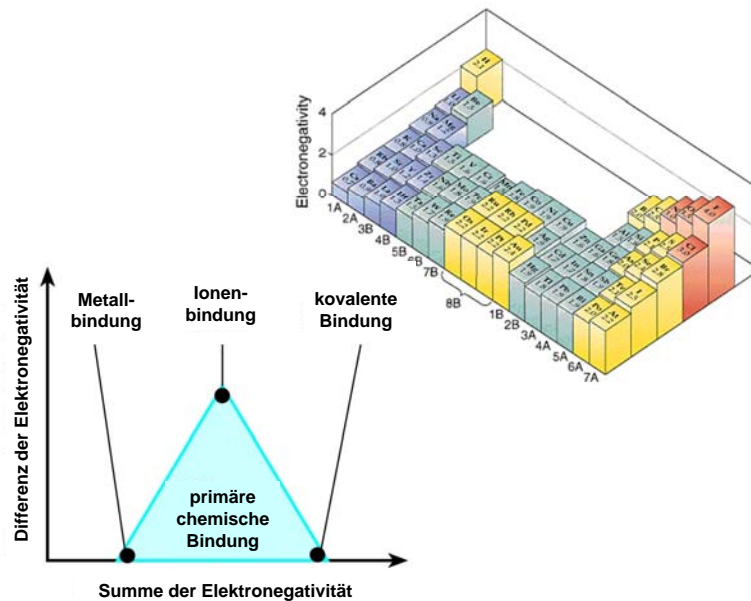


Bindungstypen

- primäre $\approx 100 \text{ kJ/mol}$
 - kovalente
 - metallische
 - ionische



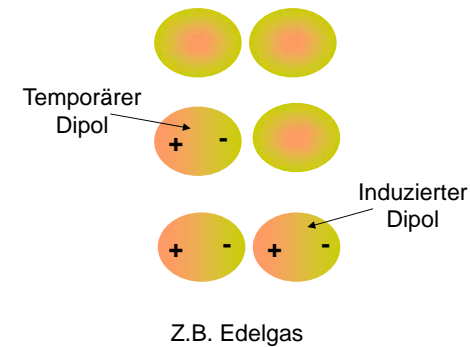
6



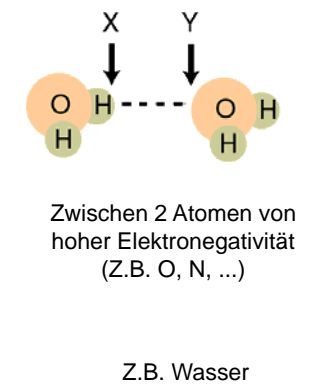
7

- sekundäre $\approx 10 \text{ kJ/mol}$
 - van der Waals (Orientierung, Induktion, Dispersion)
 - H-Brückenbindung

van der Waals Bindung (Dispersionskräfte)

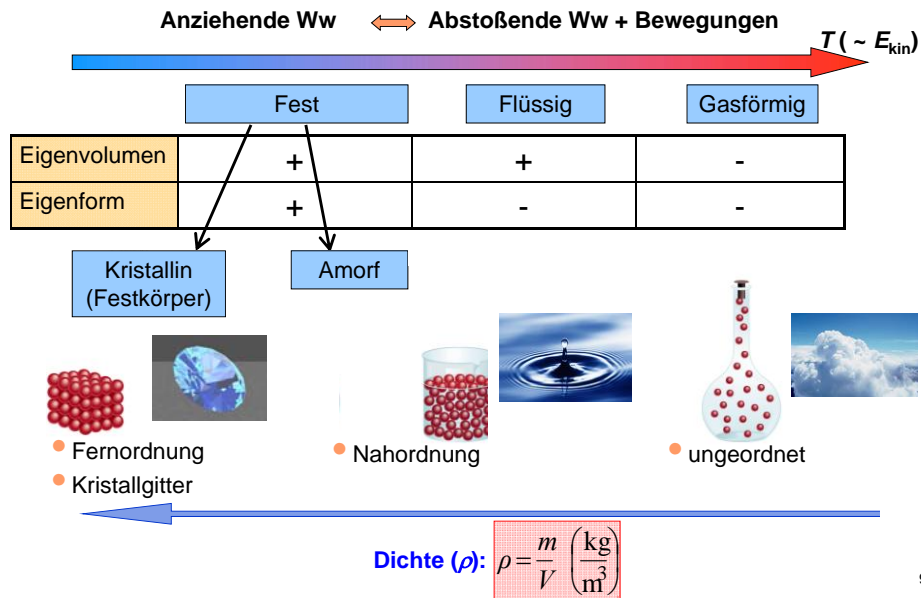


H-Brückenbindung



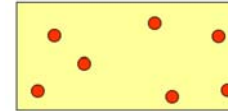
8

Aggregatzustände



9

Gase



Makroskopische Beschreibung:

- Kein Eigenvolumen und keine Eigenform
- Isotrop
- Messbare Größen:

Druck Volumen Stoffmenge
 p, V, ν, T Temperatur

$$pV = \nu RT$$

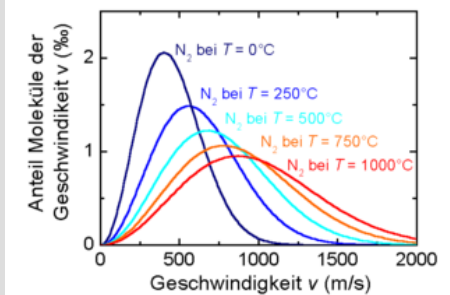
(Für ideale Gase: punktförmige Atome ohne Wechselwirkungen)

Mikroskopische Beschreibung:

- Ungeordnet
- Starke und fast freie Bewegung

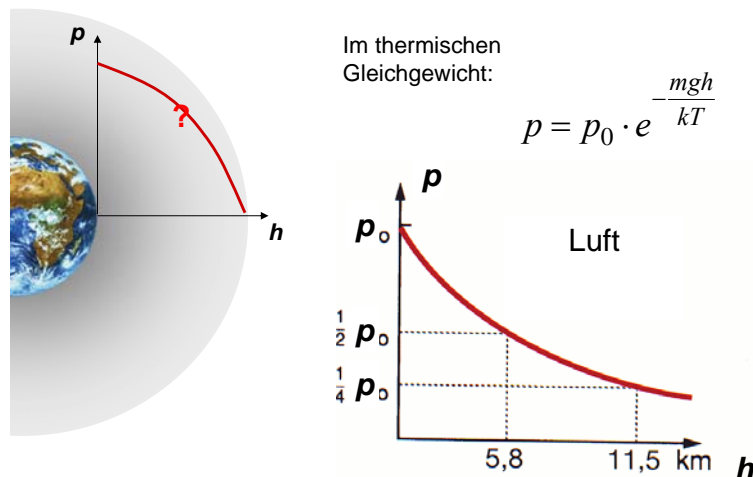
$$\frac{1}{2} m \overline{v^2} = \frac{3}{2} kT$$

Maxwell-Boltzmann- Verteilung



10

Gas im Gravitationsfeld – barometrische Höhenformel:



11

Boltzmann-Verteilung im Allgemeinen

Die Verteilung der Teilchen auf die Energiezustände im thermischen Gleichgewicht ($T = \text{konstant}$):

$$\frac{n_i}{n_0} = \frac{e^{-\frac{\epsilon_i}{kT}}}{e^{-\frac{\epsilon_0}{kT}}} = e^{-\frac{\epsilon_i - \epsilon_0}{kT}} \quad \Delta\epsilon$$

$$n_i = n_0 \cdot e^{-\frac{\epsilon_i - \epsilon_0}{kT}}$$

$$n_i = n_0 \cdot e^{-\frac{\epsilon_i - \epsilon_0}{kT}} = n_0 \cdot e^{-\frac{\Delta\epsilon}{kT}} = n_0 \cdot e^{-\frac{\Delta E}{RT}}$$

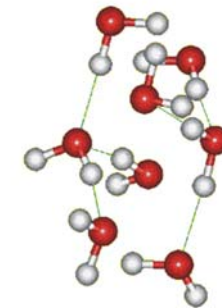
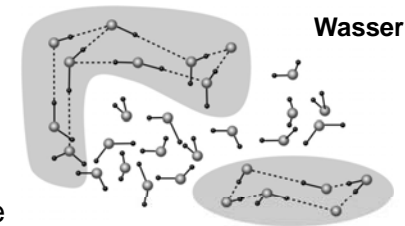
$$\left(\begin{array}{l} \Delta E = \Delta\epsilon \cdot N_A \\ R = k \cdot N_A \end{array} \right)$$

12

Anwendungen:

- Barometrische Höhenformel
- Thermische Elektronenemission von Metallen
- Konzentrationselemente, Nernst-Gleichung
- Chemische Reaktionen (Geschwindigkeits- und Gleichgewichtskonstante)
- Konzentration von thermischen Punktdefekten (in Kristallen und Makromolekülen)
- Elektrische Leitfähigkeit von Halbleitern
- ...

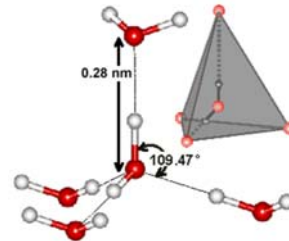
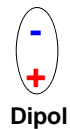
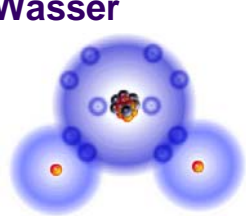
Flüssigkeiten



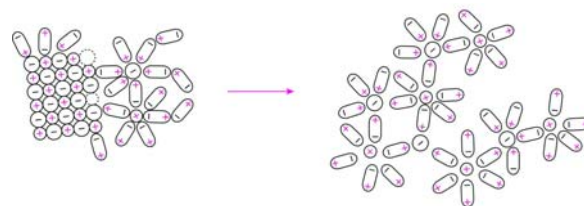
- Eigenvolumen
- Keine Eigenform/flüssig – keine innere Scherkräfte
- Nahordnung
einige nm große geordnete dynamische Bereiche
- Viele Strukturdefekte
- mittelstarke Bewegungen
- Isotrop

14

Wasser



- hohe spezifische Wärmekapazität, Schmelzwärme und Verdampfungswärme
- hohe Oberflächenspannung
- gutes Lösungsmittel



15

Feste Körper

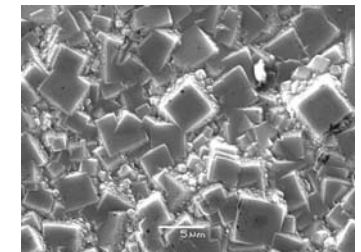
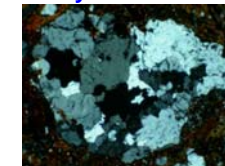
(Kristall = Festkörper)

Kristalline
Stoffe

Amorphe
Stoffe

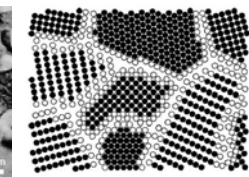
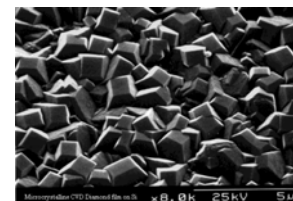
Einkristalle

Polykristalle



Mikrokristalline
Stoffe

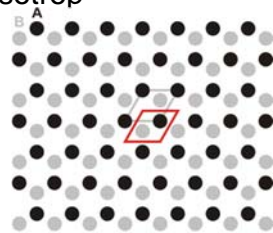
Nanokristalline
Stoffe



16

Festkörper (Kristalle)

- Eigenvolumen/Eigenform
- Fernordnung
geordnete Struktur in makroskopischen Bereichen
- Periodizität, Elementarzelle, Kristallgitter
- Wenig Defekte
- Schwache Bewegungen
- Oft anisotrop



Kristallgitter
(Raumgitter)

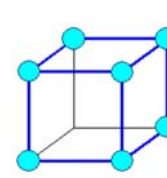
Elementarzelle



17

Raumgitter (Kristallklassen)

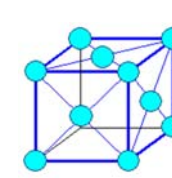
kubisch



einfach

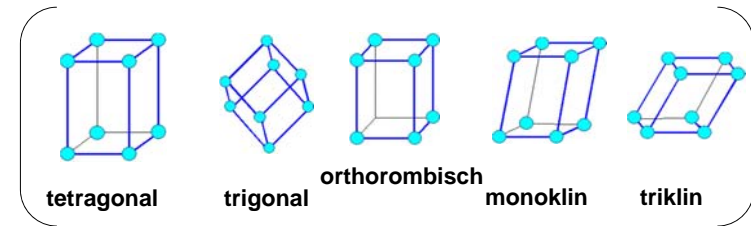
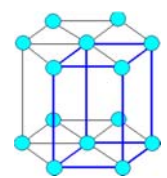


raumzentriert



flächenzentriert

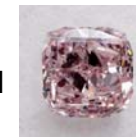
hexagonal



18

Kristalltypen

- Atomkristall



Diamant



Si

- Ionenkristall



Salz



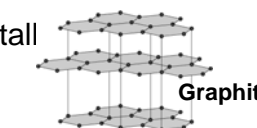
Apatit

- Metallkristall

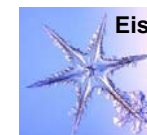


Gold

- Molekülkristall



Graphit



Eis

Eiweiß (Lysozym)



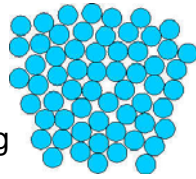
20



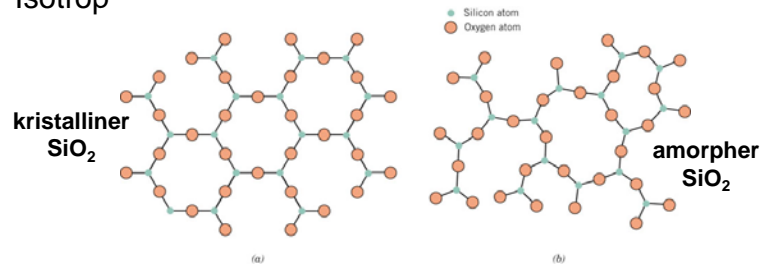
19

Amorphe (feste) Körper

- Eigenvolumen
- Mechanisch hart
- Keine Eigenform/flüssig
sehr hohe Viskosität;
„gefrorene Flüssigkeit“
- Nahordnung
- Viele Defekte
- Isotrop



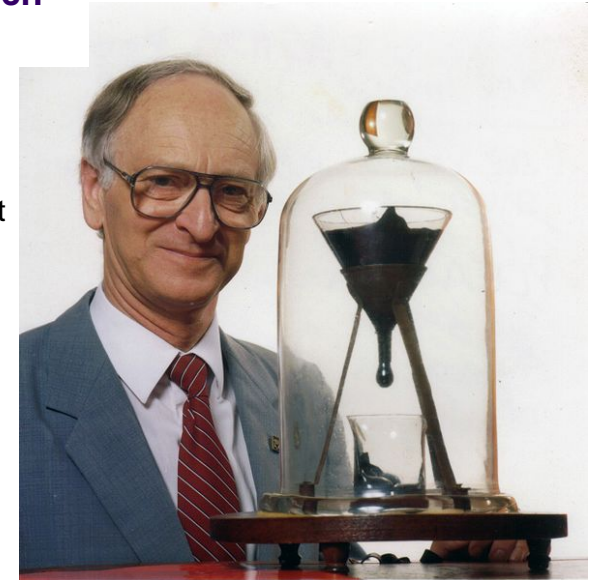
Z.B. Glas, Harz,
Wachs, Bitumen,



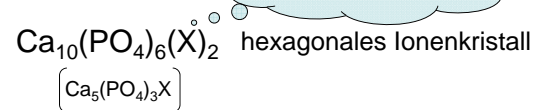
21

Längster Versuch der Welt

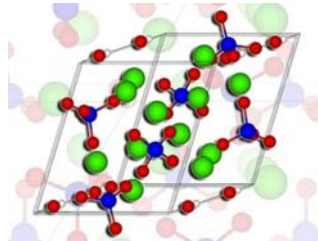
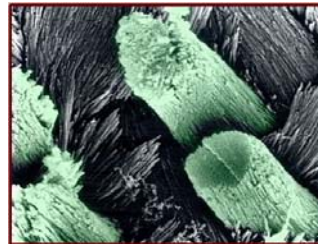
- Pechtropfen-Experiment
- In 1927 gestartet
- 9 Tropfen



Apatit



OH : Hydroxiapatit
F : Fluorapatit



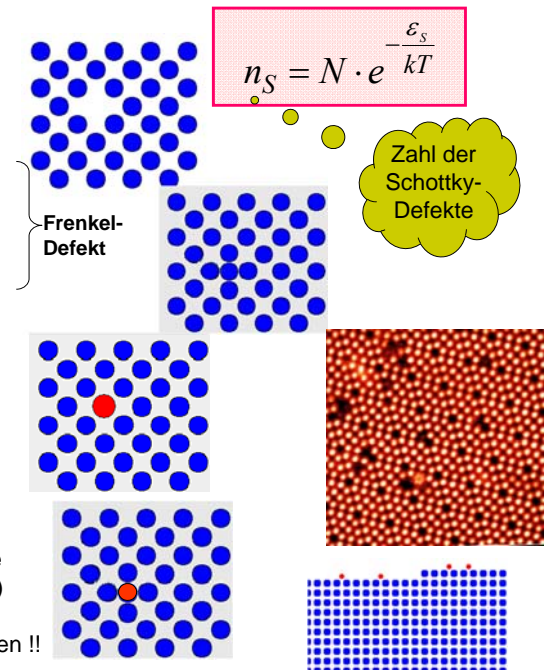
Dentin, Knochen: 20-60 nm x 6 nm große Kristalle
Zahnschmelz: 500-1000 nm x 30 nm große Kristalle

23

Gitterdefekte

• Punktdefekte

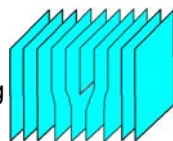
- thermisch
 - Vakanz/Leerstelle (Schottky-Defekt)
 - Interstitielles Atom (Zwischengitteratom)
- Fremdatom
 - An einer Gitterstelle (Substitutionsatom)
 - An einer Zwischengitterstelle (interstitielles Atom)



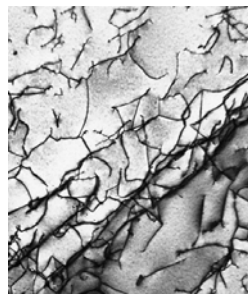
s. Legierungen !!

24

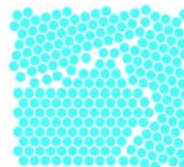
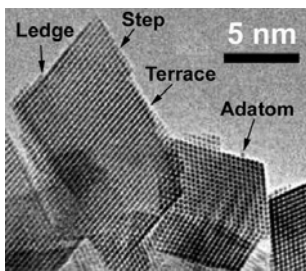
- Versetzungen
 - Stufenversetzung
 - Schraubenversetzung



Versetzungen in einer Ti-Legierung



- Korngrenzen



Gitterdefekte \Rightarrow Eigenschaften!!

Al_2O_3



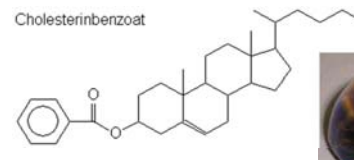
$\text{Al}_2\text{O}_3 + \text{Cr}^{+++}$



25

Flüssigkristalle

Cholesterinbenzoat

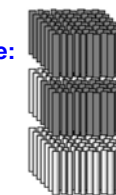


1883 Reinitzer



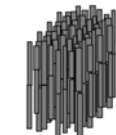
Termotrope Flüssigkristalle:

a



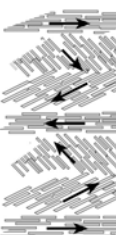
smektisch

b



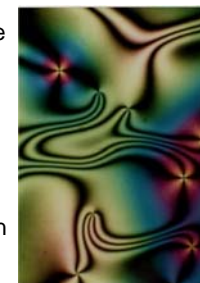
nematisch

c



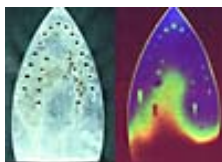
cholesterisch

- Anisodimensionale Moleküle
- Mesophase
- Flüssig
- Teilweise geordnete Strukturen
- Optisch anisotrop
- Gegen äußere Einwirkungen empfindliche Struktur

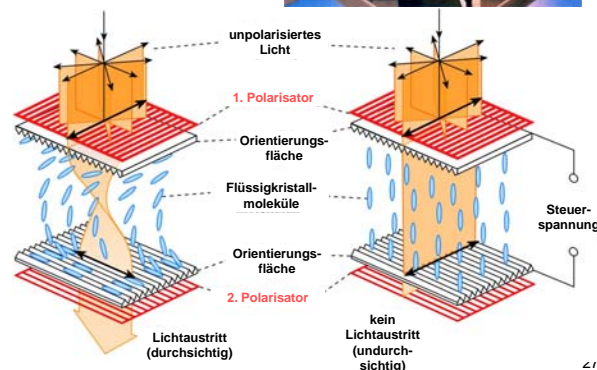
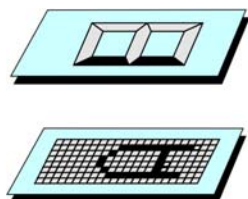


26

Kontaktthermographie/Plattenthermographie (thermo-optisches Phänomen)

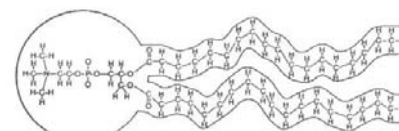


LCD (elektro-optisches Phänomen)



27

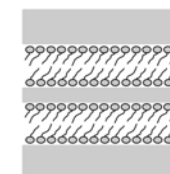
Lyotrope Flüssigkristalle:



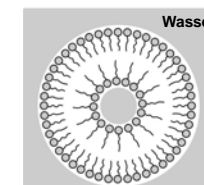
hydrophil

hydrophob

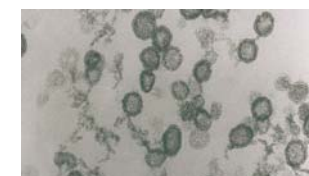
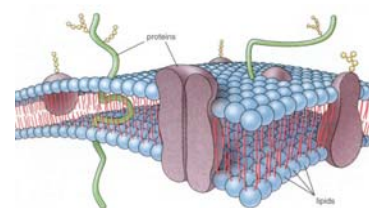
Phospholipidmolekül



Lamellare Struktur



Liposom



28